

# تاثیر فیلتر تصحیح استاتیک بر روی داده های لرزه ای بازتابی در مناطق با توپوگرافی شدید

پیام شهبازی<sup>۱</sup> و دکتر محمد علی ریاحی<sup>۲</sup>

چکیده:

تصحیح استاتیکی برای عملیات لرزه‌ای بازتابی در محیط‌های اکتشافی با توپوگرافی شدید بسیار حائز اهمیت است. تصحیح استاتیکی جدیدی به روش شکست مرزی در این تحقیق توضیح داده شده است. این تکنیک از لحاظ فنی بسیار دقیق و مشخص است، تصحیح استاتیکی بر روی طول موجهای بلند و کوتاه در محیط‌های اکتشافی با توپوگرافی شدید نیز مناسب و مؤثر است. این تکنیک شامل پنج مرحله است: نخست انتخاب کردن نخستین زمانهای رسید، انتخاب مقاطع لرزه‌ای بازتابی برای نخستین زمانهای رسید جهت انجام محاسبات تصحیح استاتیکی، ضخامت و سرعت معکوس، تجزیه خطأ و حذف و محاسبه مقادیر مربوط به تصحیح استاتیکی. مثالهای مربوط به دو ناحیه در این تحقیق بررسی شده‌اند. واژه‌های کلیدی: عملیات لرزه‌ای بازتابی، استاتیک‌ها، معکوس تجزیه خطأ.

## Effects of the static correction filter on the reflection data from high topography areas

Payam Shahbazi and Dr. Mohammad -Ali Riahi

### Abstract:

Static correction is very important for seismic survey in rugged exploration areas. A new reflection static correction technique is proposed in the paper. The technique is precise, convenient and effective for short and longer spatial wavelength statics in rugged exploration areas. The technique is composed of 5 stapes: first arrival picking, selection of selections in first arrivals for static calculation, thickness and velocity inversion, error decomposition and elimination and calculation of static correction value. Two field examples are included in the paper.

**Keywords:** Static correction, velocity inversion, reflection seismology

۱- کارشناسی ارشد ژئوفیزیک دانشکده علوم پایه دانشگاه آزاد اسلامی، واحد تهران شمال.

۲- مؤسسه ژئوفیزیک، دانشگاه تهران.

## مقدمه:

است. همچنین تکنیک مناسبی جهت داده های لرزه ای بازتابی دو بعدی و سه بعدی نیز می باشد.

### تکنیک ها و روش های مورد استفاده

بطور معمول، اگر مقادیر مربوط به زمان تأخیر نسبتاً کوچک و نسبت سیگنال به نوفه بالا باشند، تصحیحات استاتیکی باقیمانده فقط در مورد ماکریم انرژی بازتابی می تواند مورد استفاده قرار گیرد. اما در محیط های کوهستانی مقادیر استاتیکی بزرگ و نسبت سیگنال به نوفه تقریباً کوچک می باشند. در این حالت روش های استاتیکی شکست مرزی در مورد ضخامتها و سرعتهای معکوس لایه هوا زده، یک تکنیک قراردادی برای تصحیحات استاتیکی مربوط به نخستین زمانهای رسید بشمار می روند. در عمل تکنیک های استاتیکی معکوس مربوط به لایه هوازده نمی تواند نتایج رضایت بخشی را در اکثر محیط های اکتشافی با توپوگرافی شدید، حاصل کند، چونکه اغلب، خطاهای تصادفی در اثر یکنواخت نبودن لایه هوازده (LVL) بوجود می آیند. یک روش تجزیه و تحلیل و حذف خطای توافق قابل توجهی نتایج استاتیکی را بهبود بخشد. تکنیک های تصحیح استاتیکی شامل پنج مرحله می باشند:

### ۱- نخستین زمانهای رسید مربوط به یک مجموعه از چشممه ها

دامنه ماکریم نسبی و انرژی نسبی مربوط به موج لرزه ای هر رد لرزه از جمله مواردی هست که بعنوان نخستین مرحله برای اولین زمانهای رسید، مورد استفاده قرار می گیرند. دامنه ماکریم نسبی  $F$  مربوط به هر رد لرزه توسط فرمول مقابل بدست می آید:

$$F(i) = \frac{A_m(w_i)}{\sum_{j=1}^{i-1} A_m(w_j)} \quad (1)$$

$(i = 1, 2, \dots, n)$  زمان تناوب موج لرزه ای در

رد لرزه بوده و  $A_m(w_i)$  دامنه ماکریم در این زمان

روشهای لرزه ای بازتابی معمولاً در مورد اکتشافات مربوط به حرارت مرکزی زمین مورد استفاده قرار می گیرند. در اکثر محیط های اکتشافی مربوط به زمین، سطوح زمین توسط لایه هوا زده با سرعت کم پوشیده شده است. هنگامیکه موج لرزه ای از میان این لایه عبور می کند، تغییرات ضخامت و سرعت در این لایه باعث تغییر در زمان تأخیر موج لرزه ای می شود. داده های بدست آمده از ناحیه نشان دهنده آن است که تغییرات مربوط به لایه هوا زده باعث ایجاد اطلاعات نادرستی در مورد کیفیت داده های لرزه ای بازتابی می شود، (شکل ۱). تأخیرات زمانی بوجود آمده توسط لایه هوا زده در محیط های با توپوگرافی شدید انجام محاسبات مربوط به تصحیح این تأخیرات زمانی را بسیار پیچیده و دشوار ساخته است، که تصحیحات استاتیکی نامیده می شوند. نتایج استاتیکی خوب نمی تواند با استفاده از قراردادهای استاتیکی منطقه، استاتیکهای شکست مرزی و استاتیک های باقیمانده حاصل شود. تصحیحات استاتیکی با دقت بالا در پردازش داده های لرزه ای بازتابی این نواحی بسیار اهمیت داشته و کیفیت مراحل بعدی پردازش که شامل پیوسته و یکنواخت شدن مقطع لرزه ای می باشند را بهبود می بخشدند. اگر تصحیحات استاتیکی بطور مناسب استنتاج نشوند، این امر ممکن است مشکلات عمدی را در تفسیر این مقاطع بوجود آورد، همانند خطوط مبنای متغیر، بهم ریختگی یا ناپیوستگی در رخدادهای لرزه ای، آنومالی های (بی هنجاری های) موجود در لایه هوا زده که در داده های لرزه ای بدست آمده، باقی میمانند، رخدادهای کاذب و غلط که در اثر پدیده نوفه بوجود می آیند. یک تکنیک جدید تصحیح استاتیکی شکست مرزی در این مقاله توضیح داده شده است. این تکنیک جهت محاسبات استاتیکی با دقت بالا، بخصوص در محیط های با توپوگرافی شدید مناسب است. این تکنیک در مورد استاتیکهای طول موجهای کوتاه و بلند نیز مؤثر

### ۳- ضخامت و سرعت معکوس

ضخامت و سرعت برگشتی لایه هوازده قدم اصلی برای تکنیک های مربوط به تصحیحات استاتیکی شکست مرزی محسوب می شوند، [۲و۱]. ضخامت و سرعت برگشتی جهت انجام محاسبات استاتیکی مربوط به زمان تأخیر موج مورد استفاده قرار می گیرند. اما تکنیک پیشنهاد شده در این تحقیق بعنوان یک تکنیک تکمیلی می باشد. گاهی اوقات جهت محاسبه استاتیک مربوط به طول موج بلند و بهبود دادن ناپیوستگی های موجود در رخدادهای لرزه ای ضروری می باشند. عموماً دو مدل ساده برای ضخامت و سرعت معکوس مورد استفاده قرار می گیرند. یکی از این مدلها مربوط به ضخامت معکوس در شرایطی که سرعت ثابت است و دیگری مربوط به سرعت معکوس در شرایطی که ضخامت لایه هوازده در طول لایه ثابت می باشد. البته این دو مدل نمی توانند شکل واقعی لایه هوازده را بدروستی نشان دهند. اما استاتیک ها یا زمانهای تأخیر در سرتاسر مدلها و لایه واقعی یکسان می باشند.

### ۴- تجزیه و تحلیل و حذف خطاهای

بعنوان مهمترین عامل و گام کلیدی در تکنیک حذف استاتیک می باشد. ما می دانیم که بیشترین و کمترین خطاهای در نتایج استاتیکی مربوط به انواع تکنیکها وجود دارند. امیدواریم تا این خطاهای را کاهش دهیم. در جهت حذف خطاهای ما از قانون بهترین همدوستی در منحنی ها استفاده می کنیم. رسیدهای می بایست با بهترین همدوستی ظاهر شوند. با اطمینان، قوانین مربوط به فرمولهای محاسباتی استاتیک بدست می آیند.

$$\Delta t_i = \sum_{k=1}^K (g_i + u_i^{(k)}) \quad (4)$$

و

$$\Delta t_j = \sum_{k=1}^K (h_j + v_j^{(k)}) \quad (5)$$

تناوب است. انرژی نسبی  $G$  توسط فرمول زیر محاسبه می شود:

$$G(i) = \frac{E_i}{\sum_{j=1}^t E_j} \quad (6)$$

$E_i$  انرژی موج لرزه ای در این زمان تناوب است، که از فرمول زیر بدست می آید:

$$E_i = \sum_{j=t}^{t+w_i} A_j \quad (7)$$

ثابتهاي  $C_2, C_1$  را بعنوان دو آستانه انتخاب می کنیم، هنگامیکه  $F$  است  $A_m, C_2, C_1, G$  است. دامنه ماکریم مربوط به اولین زمان رسید می باشد. مقادیر  $C_2, C_1$  در حدود  $1/3$  تا  $3$  می باشند. قدم بعدی استفاده از خاصیت موازی بودن منحنی های مربوط به نخستین زمانهای رسید می باشد (شکل ۳). منحنی مربوط به نخستین زمان رسید یک چشممه می بایست با منحنی های مربوط به چشممه های دیگر موازی باشد. بنابراین نقاط اضافی و غلط در منحنی مربوط به نخستین زمان رسید از یک چشممه در مقایسه با بقیه چشممه ها می توانند حذف شوند.

## ۲- انتخاب مقاطع مربوط به نخستین زمانهای رسید برای محاسبات استاتیکی

مقاطع مربوط به نخستین زمانهای رسید که جهت محاسبات استاتیکی استفاده می شوند می بایست حاصل امواج شکست مرزی باشند که با سرعت مرزی شکست پیدا می کنند. سفره های آب زیر زمینی در برخی از محیط های اکتشافی بعنوان مرز بین دو لایه محسوب می شوند. اما در برخی از مناطق کوهستانی مرزهای شکست موج ممکن است خیلی پیچیده باشند. گاهی اوقات مرزهای شکست موج چند تا بوده و از یک مرز شکست پیدا کرده اند، می بایست دقت کنیم.

سوی دیگر نشانه ها و موقعیت های تصحیحات استاتیکی می باشد بررسی شوند.

-۳- (شکل ۳) نشانگر کلیه منحنی های مربوط به نخستین زمانهای رسید بدست آمده از مجموعه چشممه ها بوده که قبل از تصحیحات استاتیکی با هم ترکیب شده اند. همچنین مشاهده می کنیم که مقادیر با ارتفاع سطح تغییر می کنند. همان شکل بعد از اعمال تصحیحات استاتیکی مرتب شده و همانند یک منشور یا هرم چهار وجهی بنظر می رسد.

### مثالها

تکنیکهای استاتیکی که در این مقاله پیشنهاد شده است، بطور گسترده تری برای پردازش داده های لرزه ای بازتابی در ایران استفاده می شوند، که شامل دو مثال میباشند. نخستین مثال در مورد محیط های رسی رسوبی با توپوگرافی شدید می باشد، همانند (شکل ۱). دومین مثال نیز در مورد خط لرزه ای QP در مناطق کوهستانی بوده که در شکلهای (۲) تا (۸) نشان داده شده است.

### مراجع

- De Amorim, W.N, Hubral, P. And Tygel. M, 1987, computing field statics with the help of seismic tomography; Geophys, Prosp, 35, 907-919.
- Dcherty P., 1992, Solving for the thickness and velocity of the weathering layer using 2-D refraction tomography, Geophysics, 57, 1307-1318.
- Marsden D., 1993, Static correction-a review: The leading edge, 12, No.1,43-49.
- Marsden D., 1993, Static corrections - a review: The leading edge, 12, No.2, 115-120.

$\Delta t_i$  مربوط به مقدار تصحیح استاتیکی برای شوت نقطه ای  $i-th$  و  $\Delta t_j$  مقدار تصحیح استاتیکی برای گیرنده  $j$  می باشد.  $K$  عدد تکراری است.

$$g_i = \frac{1}{M} \sum_{j=1}^M g_{i,j}$$

$$h_{i,j} = g_{i,j} - g_i$$

$$u_{i,j} = h_{i,j} - h_i$$

$$u_i = \frac{1}{M} \sum_{j=1}^M u_{i,j}$$

$$V_j = \frac{1}{N} \sum_{i=1}^N V_{i,j}$$

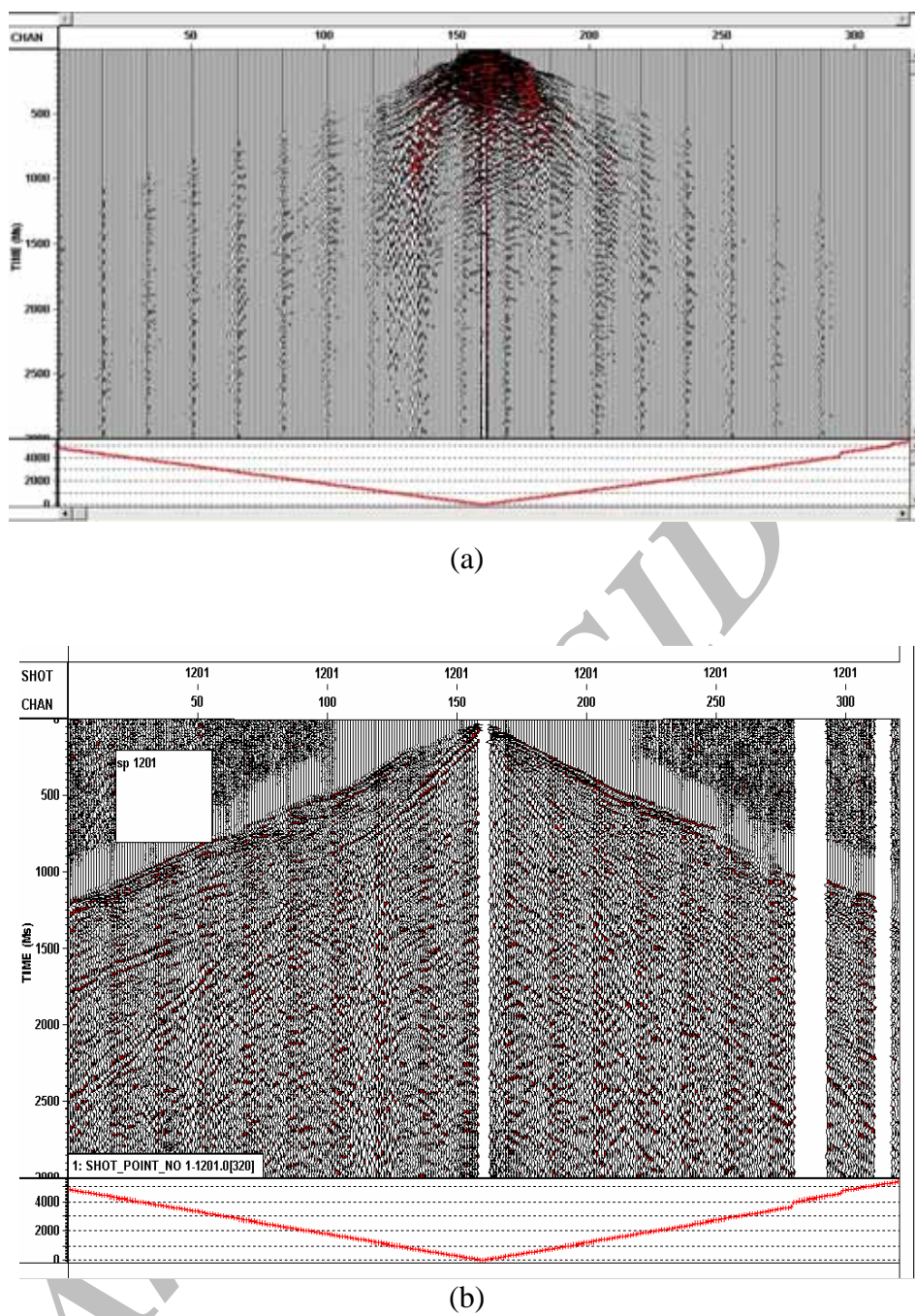
$N$  تعداد شوتهای نقطه ای در طول پروفیل لرزه ای می باشد.  $M$  تعداد گیرنده ها است.  $g_{i,j}$  مقدار تصحیح استاتیکی ناحیه در گیرنده  $j$  از شوت نقطه ای  $i-th$  است.

### ۵- محاسبه مقادیر تصحیح استاتیکی

محاسبه مقادیر تصحیح استاتیکی در تمامی گیرنده ها و شوتهای نقطه ای توسط فرمولهای (۴) و (۵) انجام می شوند.

بررسی کلی و برآوردن نتایج استاتیکی نتایج استاتیکی محاسبه شده با سه عامل زیر بررسی و برآورده می شوند.

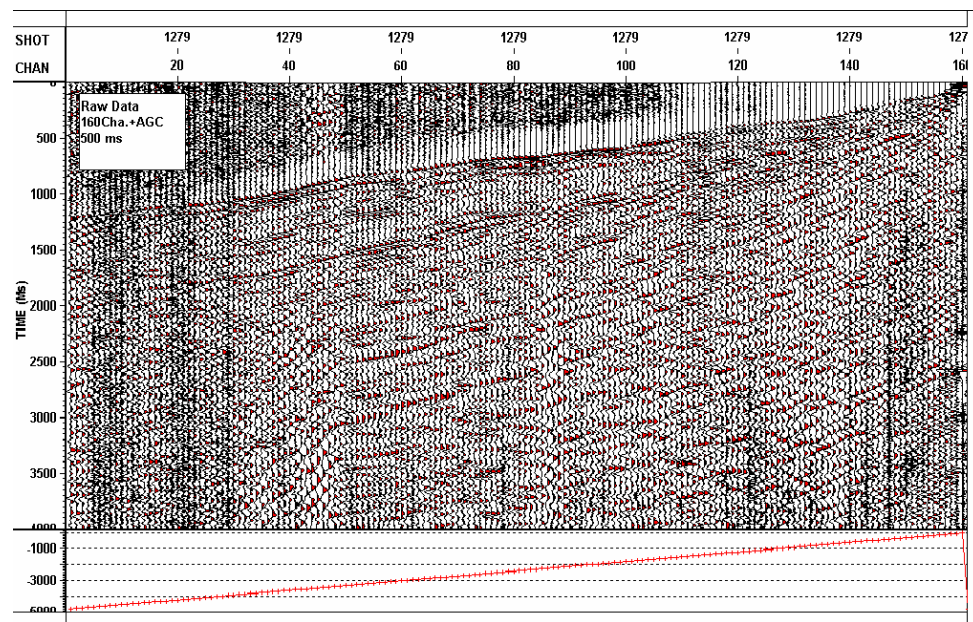
- ۱- بحث عمومی، مقادیر تصحیح استاتیکی مربوط به گیرنده ها و چشممه های نقطه ای باید بگونه ای باشد که منحنی های مربوطه با هم موازی باشند، و منحنی های می باشد مشابه خمها توپوگرافی سطوح باشند.
- ۲- بطور معمول بدون اعمال تصحیح های استاتیکی بر روی منحنی های مربوط به نخستین زمانهای رسید بدست آمده از مجموعه چشممه های صاف و یکنواخت نبوده و مشابه توپوگرافی سطوح نمی شوند، (شکل ۲). از



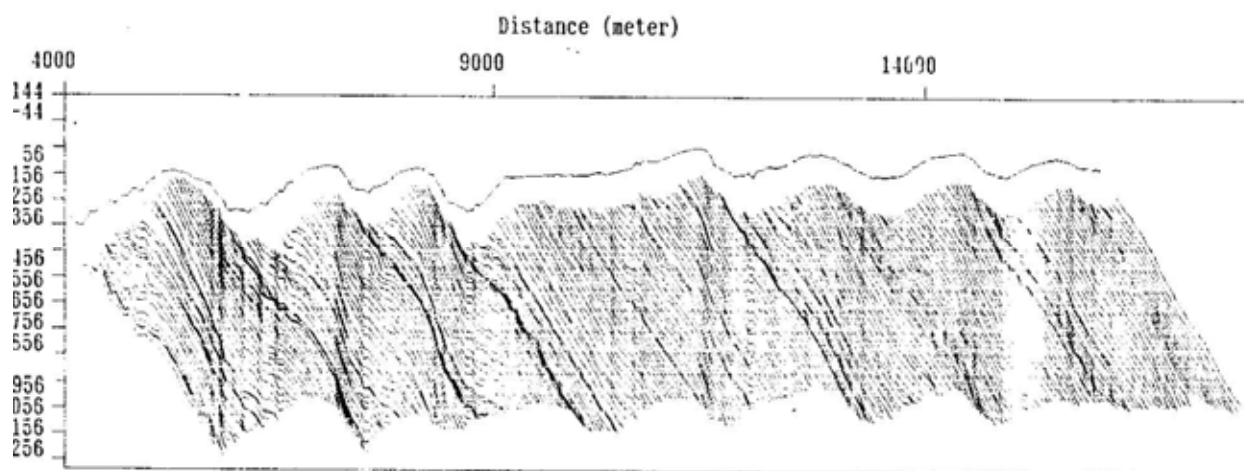
شکل ۱ داده های لرزه ای مربوط به یک گروه از چشمه ها در یک محیط رسی با توبوگرافی شدید.

(a) داده های لرزه ای منطقه

(b) داده های لرزه ای مشابه که با اعمال پدیده حذف بخشی از نویه ها و کشیدگی ردلرزه ها در زمانهای کم از بین می روند.



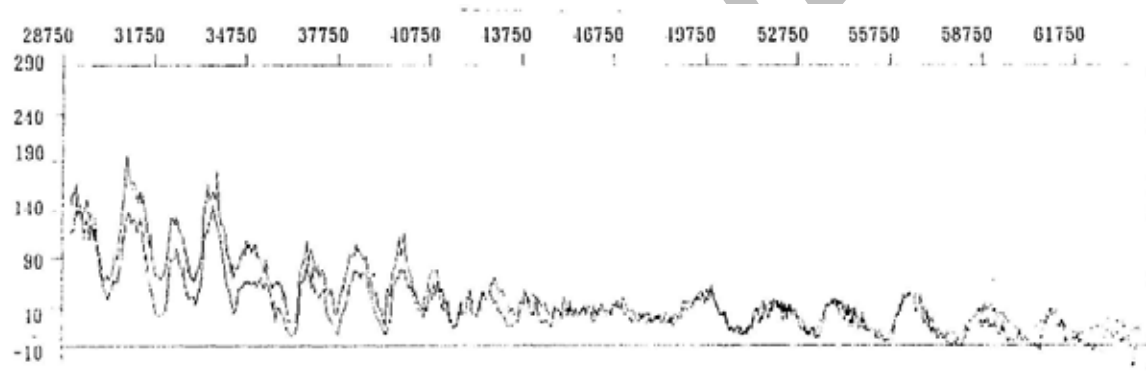
شکل ۲ داده های لرزه ای یک گروه از چشمها به صورت (off-end)، مربوط به خط لرزه ای QP در مناطق کوهستانی با توپوگرافی شدید.



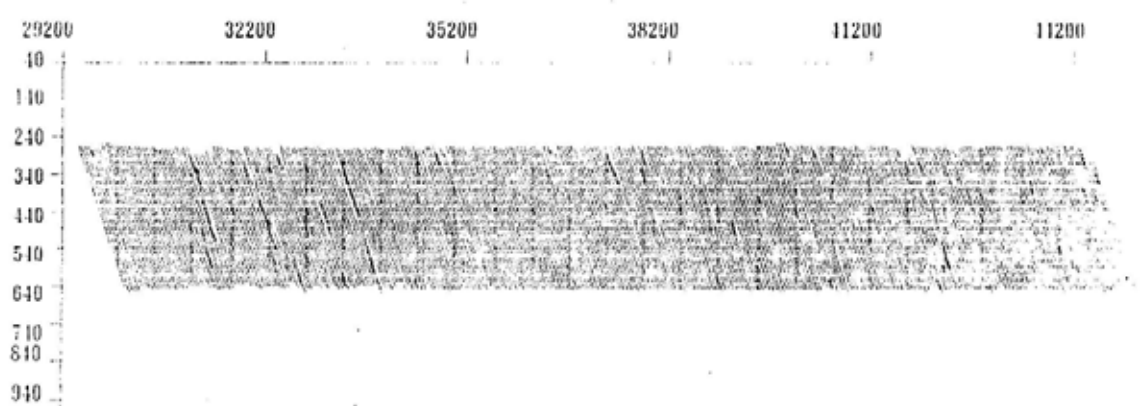
شکل ۳ منحنی های نخستین زمانهای رسید که مربوط به بخشی از چشمها در خط لرزه ای QP می باشدند، (در قسمت بالای منحنی های مربوط به نخستین زمانهای رسید یک منحنی ارتفاعی دیده می شود و بنابراین منحنی ارتفاعی عکس توپوگرافی واقعی می باشد).



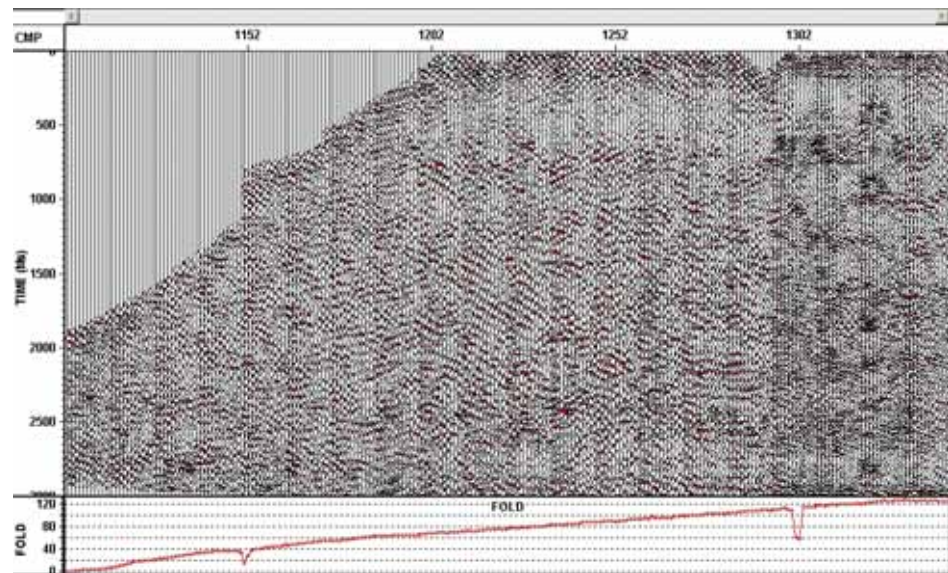
شکل ۴ ارتفاع سفره زیرزمینی از سطح زمین و خط مبنای شناور مربوط به خط لرزه‌ای QP.



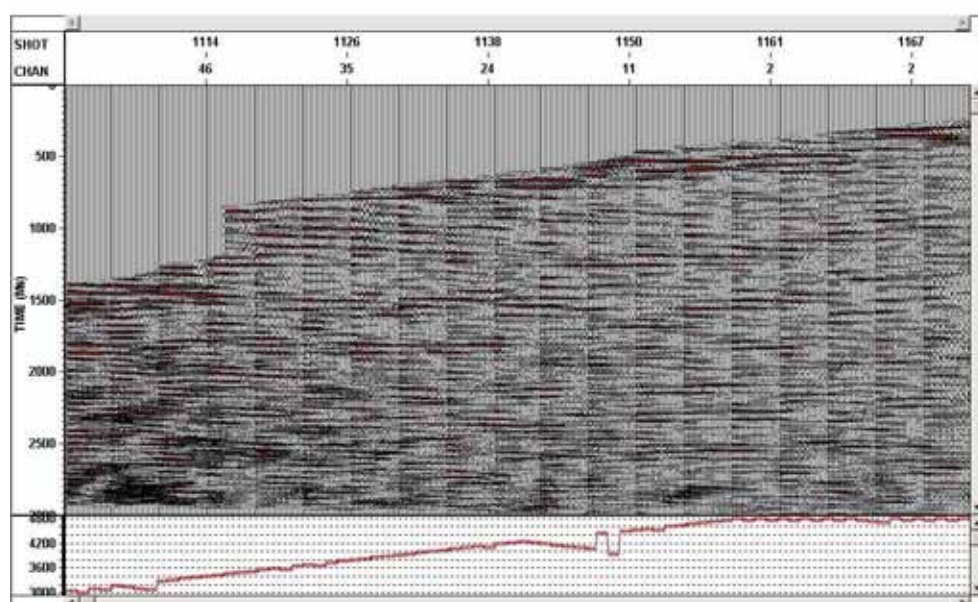
شکل ۵ تصحیحات استاتیکی مربوط به چشممه‌های نقطه‌ای و گیرنده‌ها در خط لرزه‌ای QP.



شکل ۶ اعمال تصحیحات استاتیکی بر روی منحنی‌های نخستین زمانهای رسید مربوط به بخش مشابه‌ای از چشممه‌ها در خط لرزه‌ای.



شکل ۷ بخشی از برانبارش اولیه مقطع لرزه‌ای مربوط به خط لرزه‌ای QP که تصحیح استاتیکی بر روی آن اعمال شده است.



شکل ۸ داده‌های لرزه‌ای مشابه شکل ۷ که تکنیک تصحیح استاتیکی پیشنهاد شده در تحقیق بر روی آن اعمال شده است.